

MI3010

FENÓMENOS DE TRANSPORTE EN METALURGIA EXTRACTIVA

Prof. Christian Ihle
Prof. Leandro Voisin

FCFM Universidad de Chile
Departamento de Ingeniería de Minas



fcfm

Ingeniería de Minas
FACULTAD DE CIENCIAS
FÍSICAS Y MATEMÁTICAS
UNIVERSIDAD DE CHILE

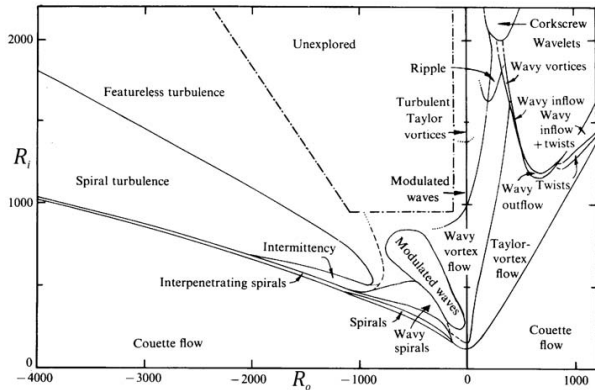


- Definir provisionalmente el concepto de turbulencia
- Conocer el concepto de capa límite y su relevancia

Valores críticos para turbulencia

Tuberías En tuberías, se tiene transición a la turbulencia para valores del número de Reynolds cercanos a 2100 ($Re_X = \rho \langle u \rangle D / \mu$).

Cilindros concéntricos Para flujos entre cilindros concéntricos se define números de Reynolds asociados al cilindro interior y exterior:

$$Re_{Xi} = r_i \Omega_i d / \nu, \quad Re_{Xo} = r_o \Omega_o d / \nu.$$


Las ecuaciones promediadas de Reynolds

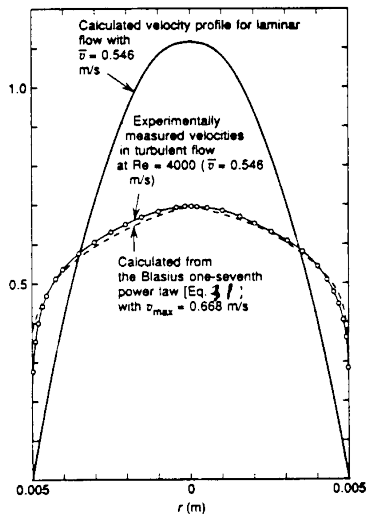
A pesar de que la ecuación de Navier-Stokes es útil tanto en el régimen laminar como en el turbulento, es conveniente expresar la velocidad en términos de una componente media (*promedio sobre la turbulencia*) y otra componente fluctuante. Así, podemos escribir:

$$u_i = \bar{u}_i + u'_i, \quad (1)$$

donde el promedio de las fluctuaciones de velocidad es cero. Se puede demostrar que en régimen estacionario (valor medio de la velocidad independiente del tiempo), la ecuación de Navier-Stokes se puede escribir como (notación de Einstein):

$$\rho \bar{u}_j \frac{\partial \bar{u}_i}{\partial x_j} = \rho \bar{f}_i + \frac{\partial}{\partial x_j} \left[-\bar{p} \delta_{ij} + 2\mu \bar{\epsilon}_{ij} - \rho \overline{u'_i u'_j} \right] \quad (2)$$

El término de la derecha se denomina *tensor de esfuerzos de Reynolds* y da cuenta de la turbulencia. Existe una variedad de métodos para modelar estos términos y así evitar el costo computacional prohibitivo que tiene resolver la ecuación de Navier-Stokes en flujos turbulentos.

Ejemplo: flujo *débilmente* turbulento

Para flujo turbulento ($Re_X > 4000$) se puede usar la ecuación semi-empírica de Blasius para calcular el perfil de velocidad.

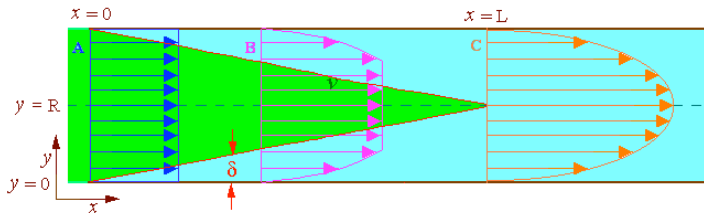
$$v(r) = \left(1 - \frac{r}{R}\right)^{1/7} v_{\text{centro}}, \quad (3)$$

de donde se obtiene,

$$\langle v \rangle = \frac{v_{\text{centro}}}{\pi R^2} \int_0^R \left(1 - \frac{r}{R}\right)^{1/7} 2\pi r dr \quad (4)$$

$$= 0.817 v_{\text{centro}}. \quad (5)$$

¿Qué es la capa límite?

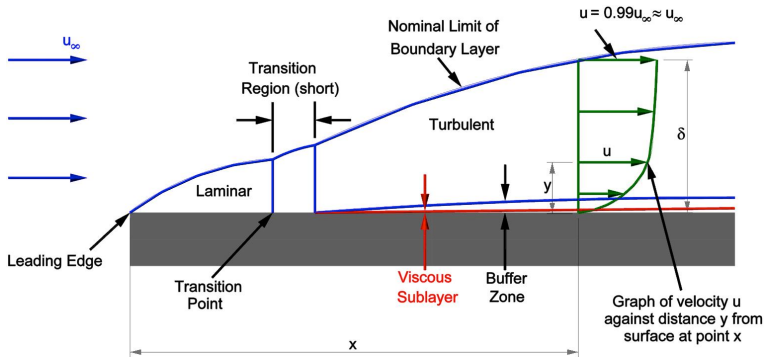


δ = Boundary layer thickness
 R = Radius of pipe
 L = Transition length
 v = Velocity

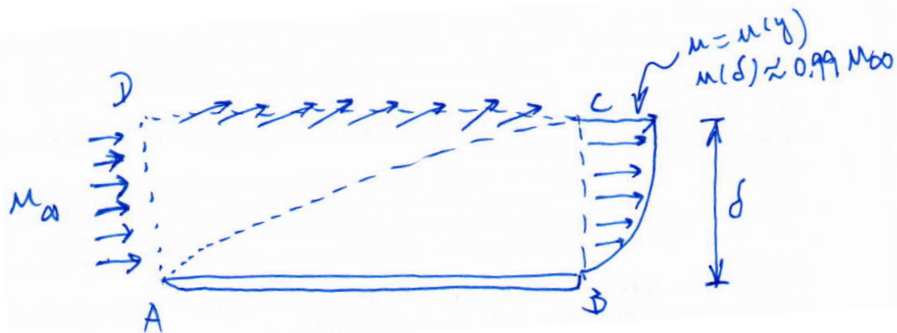
Potential flow regime

Boundary layer flow

Development of boundary-layer flow in pipe



Fuerza sobre una placa (profundidad W)



Flujos máxicos a través de las caras del volumen de control:

$$\frac{\dot{m}_{AD}}{W} = \int_0^{\delta} \rho u_{\infty} dy = \rho \delta u_{\infty} \quad (6)$$

$$\frac{\dot{m}_{BC}}{W} = \rho \int_0^{\delta} u(y) dy. \quad (7)$$

Por conservación de masa,

$$\frac{\dot{m}_{AD}}{W} = \frac{\dot{m}_{BC}}{W} + \frac{\dot{m}_{CD}}{W} \quad (8)$$

$$\frac{\dot{m}_{CD}}{W} = \int_0^{\delta} \rho [u_{\infty} - u(y)] dy. \quad (9)$$

Paréntesis

$$M_u = \int_A \rho u \vec{u} \cdot \hat{n} dA \quad (10)$$

$$= \int_A u \underbrace{(\rho \vec{u} \cdot \hat{n} dA)}_{= \rho dQ = d\dot{m}} \quad (11)$$

$$= \int_{\dot{m}} u d\dot{m}. \quad (12)$$

En consecuencia, si $u = u_\infty$ (constante), el flujo de momentum a través de la interfaz se puede escribir como:

$$M_{u_\infty} = u_\infty \dot{m} \quad (\text{si } u_\infty \text{ es constante}) \quad (13)$$

Suma de fuerzas en la dirección x :

$$\frac{\sum F_{\text{ext},x}}{W} = \underbrace{\frac{M_{BC}}{W} + \frac{M_{CD}}{W}}_{\text{salida}} - \underbrace{\frac{M_{AD}}{W}}_{\text{entrada}} \quad (14)$$

$$= \int_0^{\delta} \rho u^2 dy + u_{\infty} \int_0^{\delta} [u_{\infty} - u(y)] dy - \int_0^{\delta} \rho u_{\infty}^2 dy \quad (15)$$

$$= \int_0^{\delta} \rho u(u - u_{\infty}) dy < 0 \quad (16)$$

Esto quiere decir que aparece una fuerza externa al fluido apuntando hacia la izquierda (el fluido responde con una fuerza en sentido opuesto).

Definiciones

Capa límite (δ)

$$\delta = 0.99u_{\infty}. \quad (17)$$

Espesor de desplazamiento (δ^*)

Es tal que $u_{\infty}\delta^* = \int_0^{\infty} [u_{\infty} - u(y)] dy$, de donde:

$$\delta^* = \int_0^{\infty} \left(1 - \frac{u(y)}{u_{\infty}}\right) dy. \quad (18)$$

Análogamente definimos un espesor asociado a la capa de donde hay una transferencia activa de momentum. El *espesor de momentum*, θ es tal que:

$$\rho u_{\infty}^2 \theta = - \int_0^{\infty} \rho u (u - u_{\infty}) dy \quad (19)$$

$$\theta = \int_0^{\infty} \frac{u}{u_{\infty}} \left(1 - \frac{u}{u_{\infty}} \right) dy. \quad (20)$$

Régimen permanente 2D

Escribiendo la ecuación de Navier-Stokes en régimen permanente (coordenada x):

$$\frac{\partial u}{\partial x} + \frac{\partial v}{\partial y} = 0 \quad (21)$$

$$u \frac{\partial u}{\partial x} + v \frac{\partial u}{\partial y} = -\frac{1}{\rho} \frac{\partial \hat{p}}{\partial x} + \nu \left(\frac{\partial^2 u}{\partial x^2} + \frac{\partial^2 u}{\partial y^2} \right) \quad (22)$$

$$\hat{p} = p - \rho \vec{g} \cdot \hat{i}x - \rho \vec{g} \cdot \hat{j}y \quad (\text{presión motriz}) \quad (23)$$

Escala

$$u \sim U \Rightarrow u^* \equiv u/U \quad (24)$$

$$x \sim X \Rightarrow x^* \equiv x/X \quad (25)$$

$$y \sim \delta \Rightarrow y^* \equiv y/\delta \quad (26)$$

$$p \sim \rho U^2 \Rightarrow \hat{p}^* \equiv p/\rho U^2 \quad (27)$$

Ecuaciones adimensionales

$$u^* \frac{\partial u^*}{\partial x^*} + v^* \frac{\partial u^*}{\partial y^*} = -\frac{\partial \hat{p}^*}{\partial x^*} + \frac{1}{Re_X} \left[\frac{\partial^2 u^*}{\partial x^{*2}} + \left(\frac{X}{\delta}\right)^2 \frac{\partial^2 u^*}{\partial y^{*2}} \right], \quad (28)$$

con $Re_X = UX/\nu$. Si $\delta \ll X$ (lejos del borde de ataque), entonces

$$u^* \frac{\partial u^*}{\partial x^*} + v^* \frac{\partial u^*}{\partial y^*} = -\frac{\partial \hat{p}^*}{\partial x^*} + \frac{1}{Re_X} \left(\frac{X}{\delta}\right)^2 \frac{\partial^2 u^*}{\partial y^{*2}}. \quad (29)$$

Si $\frac{1}{Re_X} \left(\frac{X}{\delta}\right)^2 \sim 1$ (para que el término difusivo sea del mismo orden que los demás términos en (29)), entonces se tendrá:

$$\frac{\delta}{X} \sim \frac{1}{\sqrt{Re_X}} \quad (\delta \propto \sqrt{X}). \quad (30)$$

En este caso, la ecuación de capa límite (adimensional), se escribe:

$$u^* \frac{\partial u^*}{\partial x^*} + v^* \frac{\partial u^*}{\partial y^*} = -\frac{\partial \hat{p}^*}{\partial x^*} + \frac{\partial^2 u^*}{\partial y^{*2}}, \quad (31)$$

y con dimensiones,

$$\boxed{u \frac{\partial u}{\partial x} + v \frac{\partial u}{\partial y} = -\frac{1}{\rho} \frac{\partial \hat{p}}{\partial x} + \nu \frac{\partial^2 u}{\partial y^2}.} \quad (32)$$

De la solución numérica (ecuación de Blasius), se obtiene:

$$\frac{\delta}{X} = \frac{5}{\sqrt{Re_X}}; \quad \frac{\delta^*}{X} = \frac{1.72}{\sqrt{Re_X}}; \quad \frac{\theta}{X} = \frac{0.664}{\sqrt{Re_X}}. \quad (33)$$

$$(\theta < \delta^* < \delta)$$

Componente y de la ecuación de capa límite laminar

Ecuación de momentum 2D en régimen permanente:

$$u \frac{\partial v}{\partial x} + v \frac{\partial v}{\partial y} = -\frac{1}{\rho} \frac{\partial \hat{p}}{\partial y} + \nu \left(\frac{\partial^2 v}{\partial x^2} + \frac{\partial^2 v}{\partial y^2} \right). \quad (34)$$

Propuesto: Muestre que

$$\frac{\partial \hat{p}^*}{\partial y^*} \sim \mathcal{O} \left[\left(\frac{\delta}{X} \right)^2 \right], \quad (35)$$

i.e., la presión motriz se mantiene constante en la capa límite, para un x fijo (la presión se mantiene constante para un x fijo dentro de la capa límite).

Transición laminar-turbulento

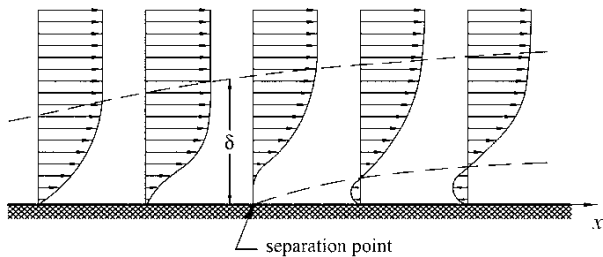
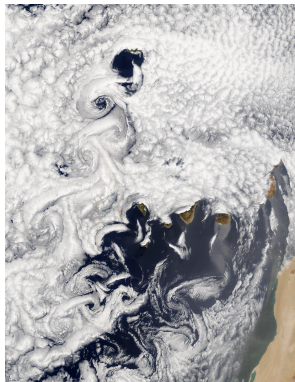
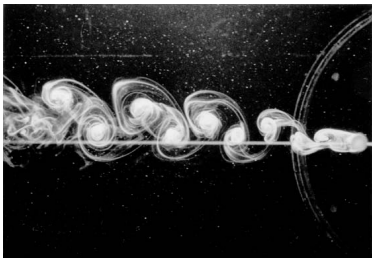


FIGURE 9.8 Velocity profiles in a boundary layer in the vicinity of separation.

Ejemplos



$$\frac{U\delta_{\text{crit}}^*}{\nu} = 520. \quad (36)$$